







ИОРАН (1978 -1994)





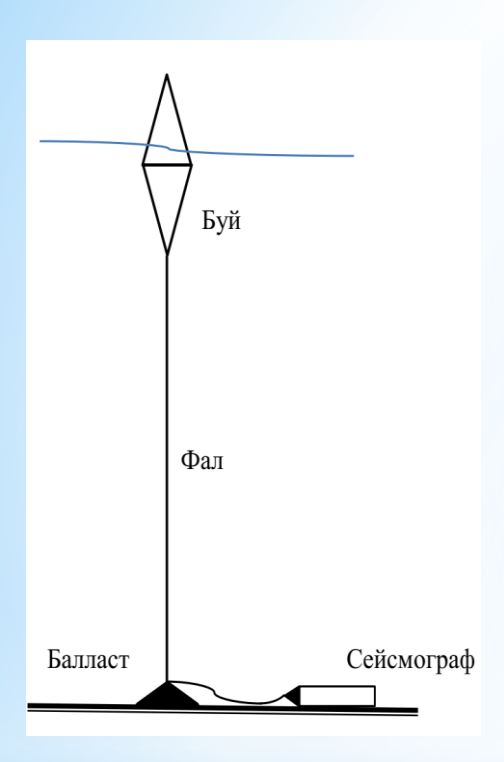
(1930 - 1994)

# Академик СергейСоловьев

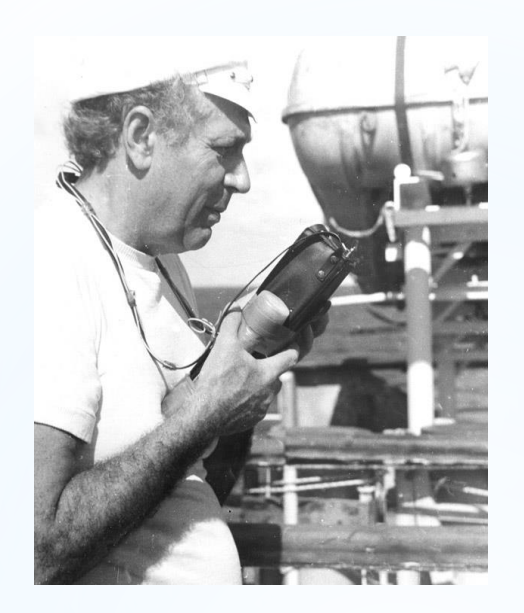
и морская сейсмология

## Первые донные сейсмографы (аналоговые)

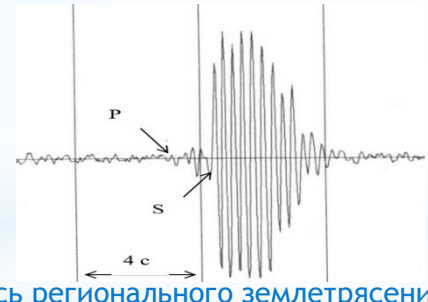
#### Буйковый донный сейсмограф



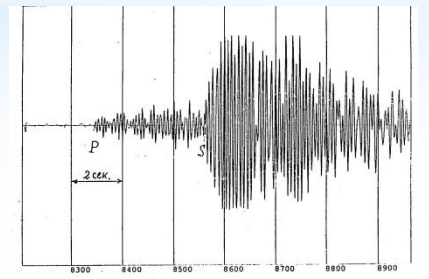




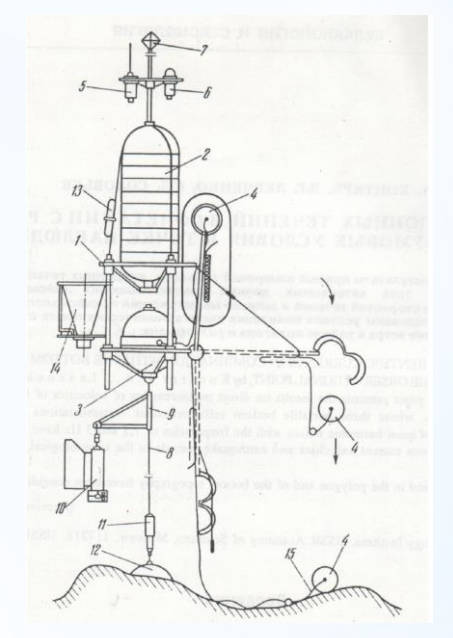
Запись местного землетрясения



Запись регионального землетрясения



#### Автономная поплавковая донная самовсплывающая сейсмостанция (АДСС)

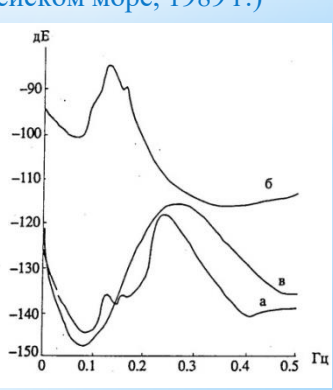




#### Районы исследований:

Оз. Байкал, Средиземное море. Черное море, Балтийское море, Адриатическое море, Атлантический океан, Тихий океан (Калифорния)

Спектры морских волн (вверху) и микросейсм (Эксперимент в Эгейском море, 1989 г.)



## Широкополосный цифровой автономный донный сейсмограф (ШАДС)





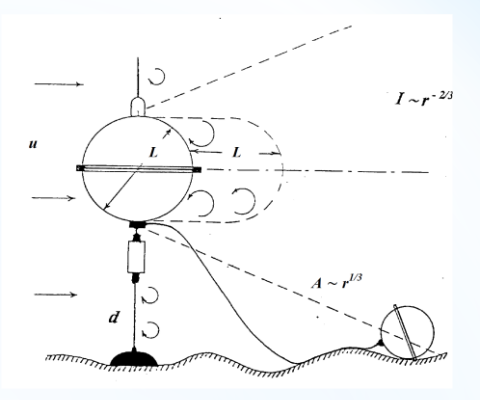


#### Отличительные особенности:

- 1. Двухмодульная конструкция с выносным блоком сейсмоприемников (разнос до 50 м)
- 2. Трехкомпонентный электрохимический сейсмоприемник с кардановым подвесом
- 3. Возможная автономность применения блока сейсмоприемников
- 4. Обтекаемая форма корпусов

#### Технические характеристики:

- 1. Частотный диапазон регистрации от 0,003 до 20 Гц
- 2. Порог чувствительности (на частоте 1 Гц)  $10^{-8} \text{ m/c}$
- 3. Динамический диапазон измерений 110 дБ
- 4. Время непрерывной регистрации до 6 мес.
- 5. Потребляемая мощность 2 B<sub>T</sub> 6000 M
- 6. Максимальная глубина погружения
- 7. Общий вес (без балласта)

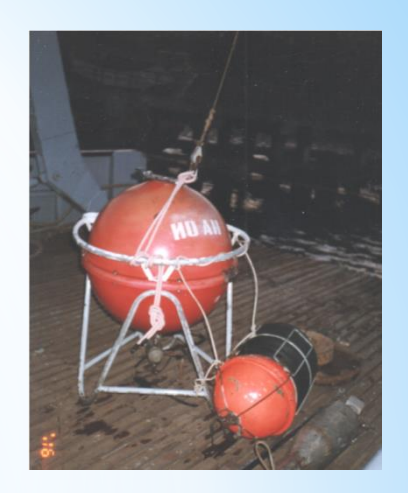


#### Районы исследований:

Черное море (Крым, Кавказ) Баренцево море Море Лаптевых Атлантический океан (Азорские о-ва)



80 кг



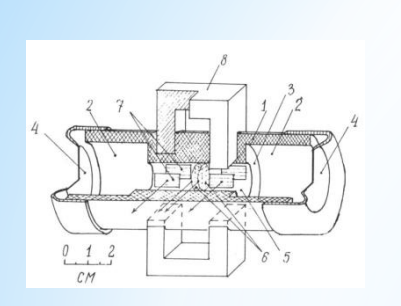
#### Подъем всплывшего сейсмографа на палубу



## Электрохимические (молекулярно-кинетические) сейсмоприемники

#### ЭХП-17, , Институт электрохимии РАН, СКТБ Мол.АН

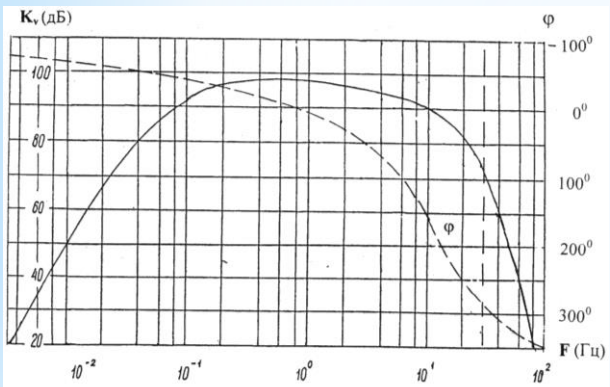
**СМЕ-4111-3х, ЦМЭ МФТИ)** 

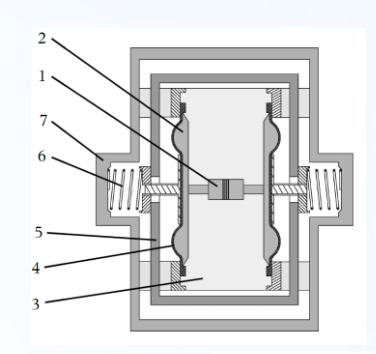




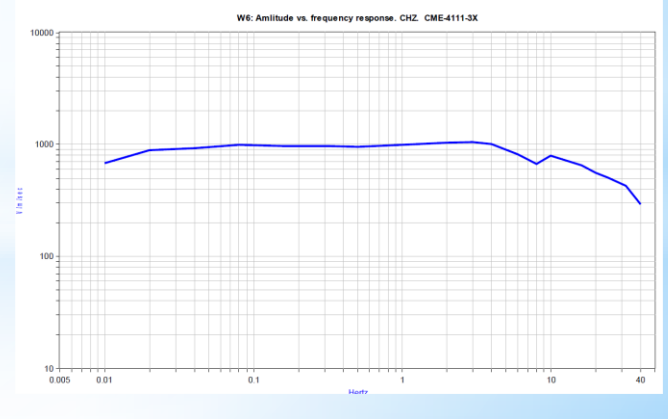








Тип	Частотный диапазон (Гц)	Динам. диапазо н (дБ)	Коэффиц. преобраз. (Вс/м)	Порог чувств. 0,1 Гц (м/с)	Мощн. питания (Вт)	Вес (кг)
ЭХП-17	0,003 - 10	110	3000	10-8	0,1	3
CME-4111	0,01 - 30	120	2000	10-8	0,1	5,1
STS-1	0,003 - 5	140	2400	10-9	5	20
CMG3T	0,01 - 70	120	1500	10-8	3	5
KS54000	0,01 - 4	120	1500	10-9	3	10



ЭХП-17 – Институт электрохимии PAH, CME4111 – Физико-технический институт (Россия), STS-1 - Streckeisen Messgeratebau (Швейцария), CMG3T – Guralp Systems Limited (Великобритания), TeledinKS54000, Geotech Instruments (США)

## Взаимодействие корпуса сейсмографа с мягким дном

Спектры микросейсм



Придонные течения

на дне и на суше

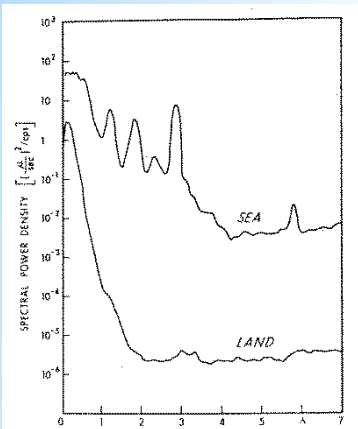
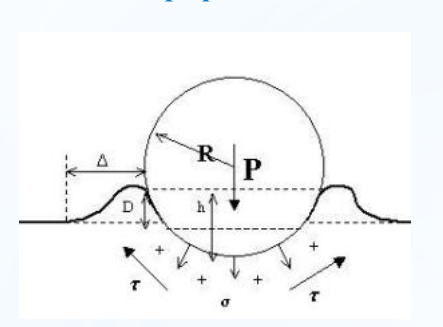
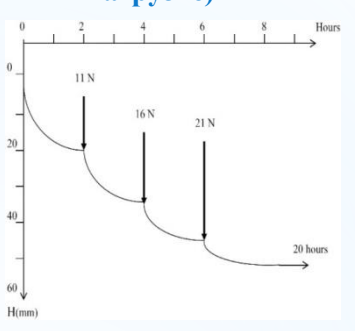


Схема взаимодействия корпуса сейсмографа с вязким дном

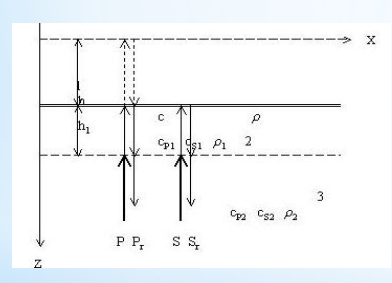


Зависимость глубины погружения корпуса от времени (при разной нагрузке)



(r)

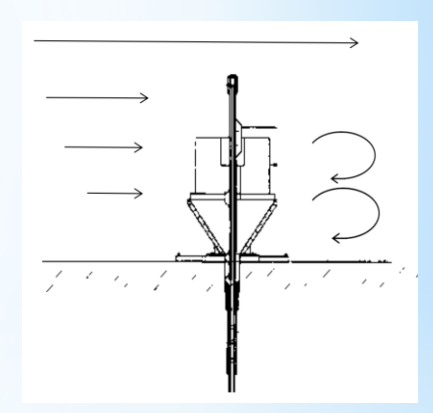
#### Структура слоистого дна



Закон Бингхема

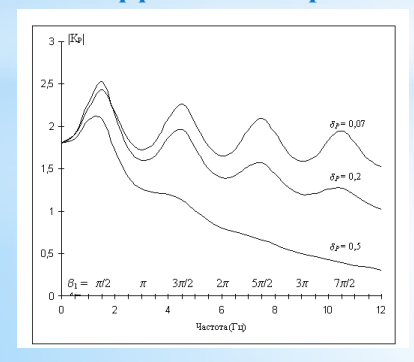
$$\tau = \tau_o + \eta \frac{dv}{dl}$$

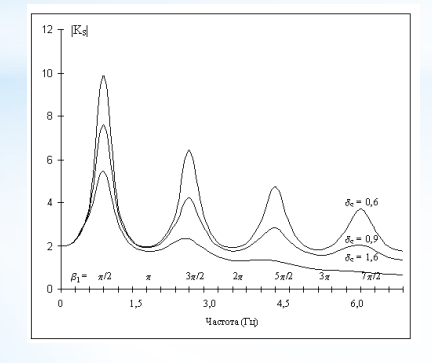
т – напряжение сдвига (Па), η – динамический коэффициент вязкости (Па с), у – скорость (м/с), I- толщина активного слоя (м),  ${m eta}_{
m peл}$  - время релаксации (c),  $\ \mu =$  модуль сдвига (Па)



## Критерий Ландау:

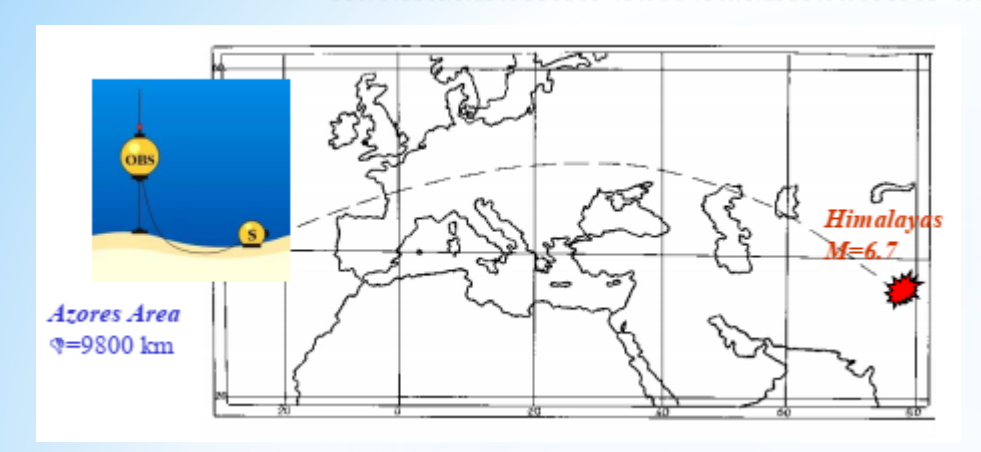
$$\omegaoldsymbol{eta}_{
m pe extit{ iny }} > 1$$



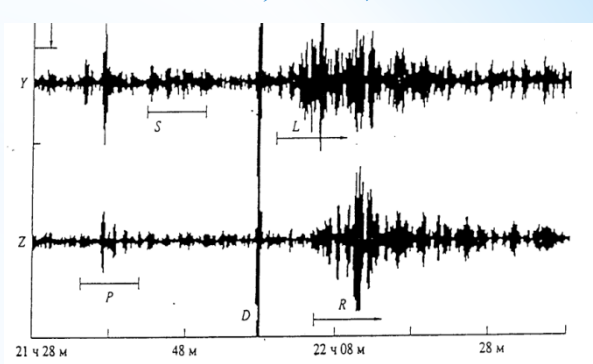


$$\pmb{\omega} = 2\pi (\mathbf{0.01} - \mathbf{20} \; \Gamma_{\mathrm{H}}), \;\; \pmb{\beta}_{\mathrm{рел}} = 1 - 25 \; \mathrm{час} \ \pmb{\omega} \pmb{\beta}_{\mathrm{pen}} \approx (\mathbf{200} - \mathbf{10}^7)$$

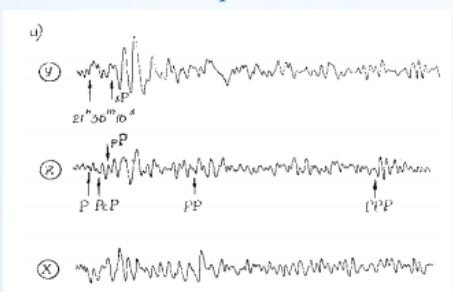
## Регистрация землетрясений сейсмографами ШАДС



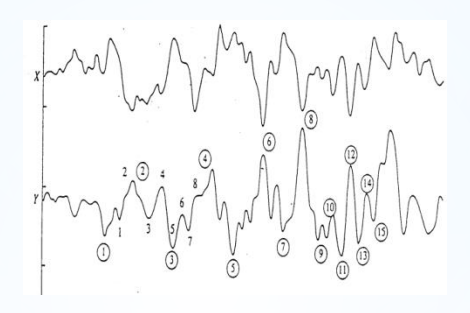
Сжатая запись Гималайского землетрясения 19 окт. 1991 г., M=6.7,  $\Xi=9800$  km



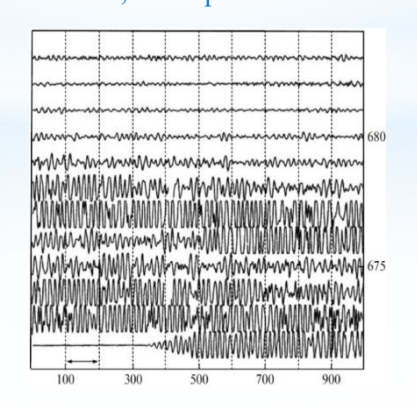
Развернутая запись Гималайского землетрясения



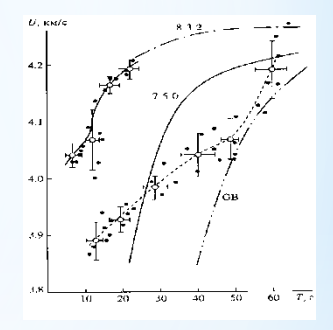
Развернутая запись волн Лява



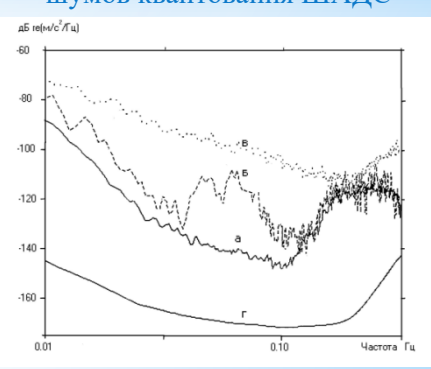
Запись сотрясения от подводного оползня, шельф Сев. Кавказа



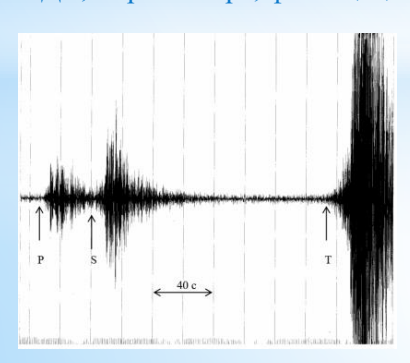
Дисперсионные кривые волн Лява



Спектры микросейсм, Гималайского землетрясения, шумов квантования ШАДС



Запись афтершока Турецкого землетрясения 17 авг. 1999 г., Мраморное море (ШАДС, Черное море, фазы *P*, *S*, *T*)



## Проблемы и перспективы создания глобальной системы сейсмологических наблюдений суша - океан

В последней работе «Достижения и проблемы морской сейсмологии», которую Сергей Леонидович не успел завершить, он высказал соображения о необходимости создания глобальной системы донных сейсмологических наблюдений с целью более адекватного изучения сейсмичности Земли.

Это соображение основано на том факте, что около 80% всех землетрясений происходит под дном океанов и морей, а эпицентры самых сильных, сопровождающихся разрушительными волнами цунами, находятся в прибрежных зонах субдукции.

Сеть наземных станций регистрирует донные землетрясения с большими искажениями оценок энергетики, плановых координат и глубины, что существенно затрудняет изучение динамического состояния Земных недр.

### Перспективные разработки:

- 1. Кабельных донных сейсмографов
- 2. Стационарных стабилизированных трансляционных буев
- 3. Региональных сейсмологических сетей, связанных
- с морскими производственными объектами



